

# گزارش یک مورد تومور سلول گرانولوزا جوانان

## تخمدان واریانت آناپلاستیک

دکتر معصومه غریب<sup>۱</sup>، دکتر فاطمه همایی شاندیز<sup>۲</sup>، دکتر قدرت الله مراح<sup>۳</sup>،

دکتر بهنوش مهدیزاده<sup>\*۴</sup>

۱. استادیار گروه آسیب شناسی، دانشکده پزشکی، دانشگاه علوم پزشکی مشهد، مشهد، ایران.
۲. دانشیار گروه رادیوانکولوژی، مرکز تحقیقات سرطان، دانشکده پزشکی، دانشگاه علوم پزشکی مشهد، مشهد، ایران.
۳. استاد گروه جراحی عمومی، دانشکده پزشکی، دانشگاه علوم پزشکی مشهد، مشهد، ایران.
۴. دستیار تخصصی آسیب شناسی کلینیکال و سرجیکال، کمیته تحقیقات دانشجویی، دانشکده پزشکی، دانشگاه علوم پزشکی مشهد، مشهد، ایران.

تاریخ دریافت: ۱۴۰۰/۰۳/۰۹ تاریخ پذیرش: ۱۳۹۹/۱۲/۱۰

### خلاصه

**مقدمه:** واریانت آناپلاستیک تومور سلول گرانولوزا جوانان، یکی از نادرترین بد خیمی‌های تخمدان می‌باشد. هدف از این گزارش مورد، توصیف یک مورد تومور سلول گرانولوزا جوانان تخمدان واریانت آناپلاستیک در یک دختر ۱۴ ساله با تظاهر خونریزی غیرطبیعی رحمی و بزرگی تدریجی شکم می‌باشد.

**معرفی بیمار:** بیمار در بدو تشخیص با اینهیبین آ و ب بیشتر از ۵۰۰ (پیکوگرم بر میلی لیتر) و توده تخمدانی حدود ۱۵  $30 \times 20 \times 20$  سانتی‌متر تحت سالپینگواؤوفورکتومی یک طرفه قرار گرفت و تشخیص تومور سلول گرانولوزا تخمدان جوانان برای وی مطرح گردید که پیگیری نداشته و ۱۰ ماه بعد با آسیت، توده مجدد و متاستاز به کبد و دوردست مراجعه کرده است، بیمار تحت کموتراپی چهار نوبت با رژیم BEP (بلئومایسین، اتوپوزاید، سیسپلاتین) و ۵ نوبت پکلی تاکسول و کربوپلاتین و سپس لایپاراتومی با هدف متاستاتکتومی قرار گرفت که به علت وسعت درگیری، درمان امکان‌پذیر نبوده است. در نهایت ۵ ماه پس از جراحی دوم، بیمار فوت شد.

**نتیجه‌گیری:** این گزارش مورد، مؤید نیاز به پیگیری دقیق بیماران مبتلا به تومور سلول گرانولوزا جوانان تخمدان و توجیه مناسب بیمار و قیم ایشان جهت تجویز درمان‌های ادجوانی مورد نیاز برای پیشگیری از عود بیماری می‌باشد.

**کلمات کلیدی:** آناپلازی، بد خیمی تخمدان، تومور گرانولوزای جوانان، گزارش مورد

\* نویسنده مسئول مکاتبات: دکتر بهنوش مهدیزاده؛ دانشکده پزشکی، دانشگاه علوم پزشکی مشهد، مشهد، ایران. تلفن: ۰۵۱-۳۸۴۶۹۱۵۷  
پست الکترونیک: mehdizadeh\_68@yahoo.com

## مقدمه

تومورهای سلول گرانولوزا تخدمان<sup>۱</sup> توموری نادر و جزء شایع ترین تومورها از دسته تومورهای استرومای طناب جنسی<sup>۲</sup> هستند. این تومورها بالغ بر ۵٪ تومورهای تخدمان را به خود اختصاص داده و بر اساس ظاهر بالینی، سن بیمار و ویژگی‌های هیستولوژی به دو زیرگروه اصلی شامل تومورهای سلول گرانولوزا تخدمان بالغین<sup>۳</sup> (بالغ بر ۹۵٪ موارد) و تومورهای سلول گرانولوزا تخدمان جوانان (کمتر از ۵٪ موارد) تقسیم می‌شوند (۴).  
 ۱) تومورهای سلول گرانولوزا تخدمان جوانان<sup>۴</sup> در سنین کمتر از ۳۰ سال و با ظاهر توده شکمی و اختلال هورمون‌های جنسی ظاهر می‌یابند. در پاتولوژی تومورهای سلول گرانولوزا تخدمان مسیرهای ژنی مختلفی همچون Notch و TGF-β، PI3K/AKT و ER و PR مثبت می‌باشد (۴). در این گروه از بدخیمی‌های تخدمان، سلول نئوپلاستیک دارای بیان اینهیبین آلفا، ویمنتین، پروتئین CD99، CD10، S-100 و ماده مهارکننده مولر<sup>۵</sup>،  
 سیتیک با اینهیبین آ برابر ۵۶۷ (پیکوگرم بر میلی لیتر)، اینهیبین ب بیشتر از ۹۷۹ (پیکوگرم بر میلی لیتر) و CA125 برابر ۵/۸ ( واحد بر میلی لیتر) بود که در سطوح همه این مارکرها بالاتر از حد نرمال بود. در سیتی اسکن انجام شده، توده کسیتیک با اینترنال سپتا و ندولاریته سالید به ابعاد ۱۵۳×۳۴۷×۲۰۰ میلی متر در شکم و لگن مشاهده شد (شکل ۱ قسمت A). سپس بیمار با تشخیص احتمالی بدخیمی تخدمان، تحت عمل جراحی سالپینگوآوفورکتومی چپ قرار گرفت که توده حجمی با منشأ تخدمان چپ بدون هیچ‌گونه پارگی تحت رزکسیون قرار گرفت. همچنین جهت مرحله‌بندی بیمار، حفره شکم تحت بررسی قرار گرفت و جهت بیمار امتنکتومی صورت پذیرفت.  
 در بررسی پاتولوژی در ماکروسکوپی یک تخدمان بزرگ مولتی لکوله با نواحی سالید و کیستیک به اندازه ۳۲×۲۱×۱۶ سانتی‌متر و وزن ۲۶۰۰ گرم مشاهده شد. در بررسی میکروسکوپی ضایعه نئوپلازیک با طرح سالید و ماکروفولیکولار با نواحی میکروکیستیک شامل ترشحات اتوزینوفیل مت Shank از سلول‌های توموری با سیتوپلاسم لوئینیزه و هسته بیضی با میتوز فراوان (۳۰-۲۵ در HPF<sup>۶</sup>) و نکروز بیش از ۵٪ حجم تومور بدون درگیری کیپسول و لوله فالوپ مشاهده شد.

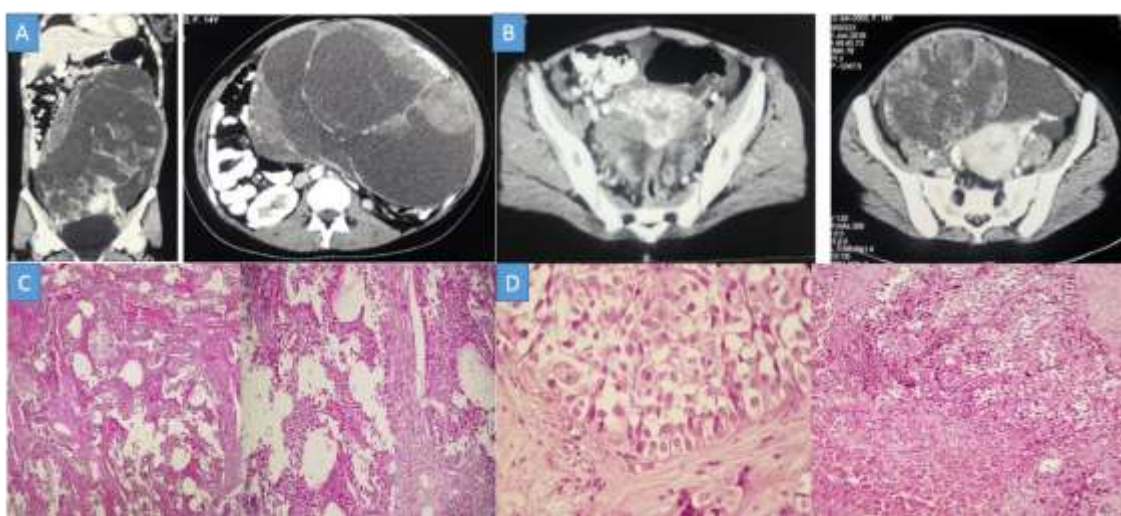
## معرفی بیمار

دختر ۱۴ ساله باکره بدون سابقه شخصی و یا خانوادگی از بیماری قابل ذکر با شکایت از خونریزی غیرطبیعی رحمی به صورت خونریزی واژنیال زیاد و طول کشیده از ۸ ماه قبل از مراجعه و بزرگی تدریجی شکم از ۳ ماه قبل به مرکز درمانی مراجعه نمود. در معاینه بالینی توده حجمی لگنی با گسترش به نواحی پری امبیلیکال لمس گردید. با توجه به یافته‌های بالینی، جهت بیمار سونوگرافی شکم درخواست شد که در آن توده با اکوی میکس و نواحی سالید و کیستیک به ابعاد ۲۵۰×۱۶۵×۱۲۵ میلی‌متر در حفره شکم و لگن با منشأ احتمالی از تخدمان گزارش شد. در ادامه برای بیمار مارکرهای تومورال و سیتی اسکن شکم و لگن درخواست شد که آزمایشات بدو تشخیص بدین صورت بود: اینهیبین آ برابر ۵۶۷ (پیکوگرم بر میلی لیتر)، اینهیبین ب بیشتر از ۹۷۹ (پیکوگرم بر میلی لیتر) و CA125 برابر ۵/۸ ( واحد بر میلی لیتر) بود که در سطوح همه این مارکرها بالاتر از حد نرمال بود. در سیتی اسکن انجام شده، توده کسیتیک با اینترنال سپتا و ندولاریته سالید به ابعاد ۱۵۳×۳۴۷×۲۰۰ میلی متر در شکم و لگن مشاهده شد (شکل ۱ قسمت A). سپس بیمار با تشخیص احتمالی بدخیمی تخدمان، تحت عمل جراحی سالپینگوآوفورکتومی چپ قرار گرفت که توده حجمی با منشأ تخدمان چپ بدون هیچ‌گونه پارگی تحت رزکسیون قرار گرفت. همچنین جهت مرحله‌بندی بیمار، حفره شکم تحت بررسی قرار گرفت و جهت بیمار امتنکتومی صورت پذیرفت.  
 در بررسی پاتولوژی در ماکروسکوپی یک تخدمان بزرگ مولتی لکوله با نواحی سالید و کیستیک به اندازه ۳۲×۲۱×۱۶ سانتی‌متر و وزن ۲۶۰۰ گرم مشاهده شد. در بررسی میکروسکوپی ضایعه نئوپلازیک با طرح سالید و ماکروفولیکولار با نواحی میکروکیستیک شامل ترشحات اتوزینوفیل مت Shank از سلول‌های توموری با سیتوپلاسم لوئینیزه و هسته بیضی با میتوز فراوان (۳۰-۲۵ در HPF<sup>۶</sup>) و نکروز بیش از ۵٪ حجم تومور بدون درگیری کیپسول و لوله فالوپ مشاهده شد.

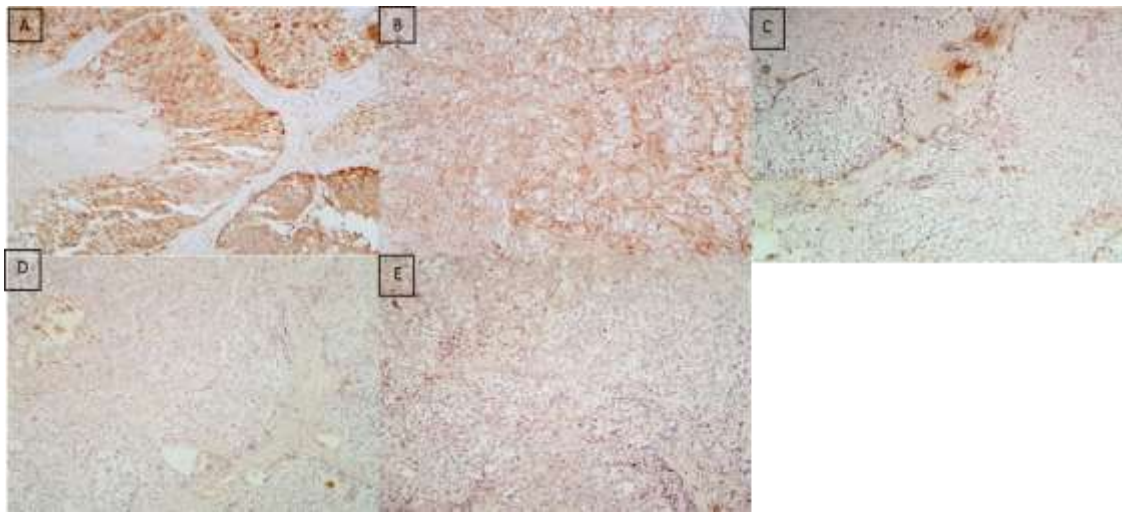
و ۵ نوبت پکلی تاکسول و کربوپلاتین تجویز گردید. سپس بیمار تحت جراحی جهت رزکسیون تومور تخدمان راست و متاستاتکتومی کبد و طحال قرار گرفت و در حین عمل توده حجیم لگن با دست‌اندازی به رحم، مثانه و سکوم با متاستازهای متعدد لوب راست و ناف کبد و متاستاز در مزوی روده باریک و امتنوم و با سیدینگ پریتوئن در پاراکولیک‌ها و همچنین متاستاز طحالی بود. برای این بیمار، نمونه لف نود مزانتر و امتنوم به پاتولوژی ارسال شد که در بررسی میکروسکوپی آن، نتوپلاسمی مشتمل از صفحات و جزایر سلولی سالید با سلول‌های با آتیپی زیاد با نکروز فراوان و تغییرات دسموپلاستیک همراه با اجسام پسوماما رؤیت شد (شکل ۱ قسمت D) که با توجه به نمای غیراختصاصی میکروسکوپی و سابقه قبلی توده تخدمان، تشخیص undifferentiated tumor (تومور تمایز نیافته) گذاشته شد که جهت تعیین نوع دقیق تومور، ایمونوھیستوشیمی درخواست شد که در نتایج آن CK، Calretinin و Inhibin و CD117 و WT1 منفی و مثبت بود (شکل ۲). با توجه به یافته‌های ایمونوھیستوشیمی و نمای میکروسکوپی تشخیص تومور گرانولوزای جوانان، واریانت آنپلاستیک گذاشته شد. به علت عدم تحمل درمان، بیمار کاندید درمان نگهداره و تسکینی شد و در پیگیری‌های انجام شده، بیمار بعد از ۵ ماه فوت کرد.

که تشخیص تومور سلول گرانولوزا تخدمان جوانان مطرح گردید که در مرحله IA پرخرطه قرار داشت (شکل ۱ قسمت C). بعد از انجام جراحی بیمار جهت پیگیری مراجعه نداشته است.

۱۰ ماه پس از عمل جراحی بیمار به علت افزایش سایز شکم مجدد مراجعه نموده که در بررسی اولیه در سونوگرافی شکم و لگن آسیت فراوان به همراه توده آدنکس راست و متاستاز کبدی مطرح و در آزمایشات میزان استرادیول برابر  $135\text{ }\mu\text{g}/\text{ml}$  (پیکوگرم بر میلی‌لیتر)، اینهیبین آ بیشتر از  $1000\text{ }\mu\text{g}/\text{ml}$  (پیکوگرم بر میلی‌لیتر) و اینهیبین ب بیشتر از  $1000\text{ }\mu\text{g}/\text{ml}$  (واحد بر میلی‌لیتر) تعیین گردید. در سی‌تی اسکن شکم و لگن، تصویر ضایعات سالید و هایپودننس کبدی و طحالی مطرح‌کننده متاستاز به این دو ارگان به همراه توده سالید و کیستیک به دیامتر  $80\times 55\text{ mm}$  میلی‌متر در محل آدنکس راست مطرح‌کننده ضایعه تومورال تخدمان راست و نواحی هایپودننس در محل آناتومیک آدنکس چپ و لترال عضله پسوس چپ و LUQ مطرح‌کننده متاستاز پریتونال مشاهده شد. بیمار تحت کموترایی چهار نوبت با رژیم BEP قرار گرفت که بعد از این دوره درمانی شواهد پیشرفت بیماری در سی‌تی اسکن شکم و لگن به همراه افزایش مارکر داشته که به همین علت رژیم درمانی عوض شده



شکل ۱- سی‌تی اسکن شکم و لگن قبل درمان (A) و هنگام عود (B) به همراه تصاویر ریزبینی با میکروسکوپ نوری جراحی اولیه (C) و هنگام عود (D)



شکل ۲- بررسی ایمونوھیستوشیمی تومور (A: WT1 مثبت، B: Inhibin مثبت، C: Calretinin منفی، D: CK منفی، E: CD117 منفی)

لگن به صورت ناشایع ممکن است مشاهده شود. در ماکروسکوپی شبیه به نوع بالغین اندازه آن از ۳-۳۲ سانتی‌متر متغیر است و ۰.۲٪ به صورت دوطرفه است. شایع‌ترین پtern میکروسکوپی صفحات سلولی و فولیکول‌های گیرافتاده در میان آنها است که با اشکال و سایزهای مختلف هستند و در لومن ترشحات اوزینوفیلیک تا بازویلیک مشاهده می‌شود. اجسام call-exner ندرتاً ممکن است مشاهده شود. فولیکول‌ها غالباً با سلول‌های گرانولوزا و گاهی سلول‌های تکا و یا ترکیبی از این‌ها پوشیده می‌شوند. این سلول‌های گرانولوزا سلول‌هایی گرد با سیتوپلاسم واکوئله یا اوزینوفیلیک فراوان، بدون شکاف هسته‌ای با هسته‌های هایپرکروم یا یوکروم با آتیپی خفیف تا شدید هسته‌ای و میتوز معمولاً فراوان هستند. یک یافته ناشایع دیگر سودوپاپیلا است که در هر دو نوع مشاهده می‌شود، ولی در نوع جوانان شایع‌تر است<sup>(۷)</sup>. سن بیمار گزارش حاضر ۱۴ سال بود که در حدود متوسط سنی بروز این تومور است و بیمار با علائم بزرگی شکم و خونریزی غیرطبیعی رحمی مراجعه کرده که پس از جراحی توده‌ای با اندازه بزرگ با بزرگ‌ترین قطر ۳۲ سانتی‌متر داشت. تومور بیمار بسیار بزرگ‌تر از متوسط سایز تومور بود. سایز بزرگ تومور نیز منجر به پیش‌آگهی بدتری در این بیمار شده بود.

## بحث

سرطان تخمدان، سومین نئوپلاسم شایع در زنان پس از سرطان دهانه رحم و آندومتر است و تقریباً ۶٪ کل سرطان‌های موجود در زنان را تشکیل می‌دهد (۵). تومورهای تخمدانی به ۴ دسته کلی ای بی‌تلیال، ژرم سل، سکس کورد و استروممال طبقه‌بندی می‌شوند. تومور سلول گرانولوزای تخمدان (GCT)<sup>۱</sup> نوعی تومور از گروه سکس کورد استروممال می‌باشد که تمایز به سمت سلول‌های گرانولوزای فولیکول تخمدانی را نشان می‌دهد و دو نوع از این تومور شناخته شده شامل: تومورهای سلول گرانولوزا تخمدان بالغین و تومورهای سلول گرانولوزا تخمدان جوانان می‌باشند (۱-۳). تومورهای سلول گرانولوزا تخمدان جوانان در حدود ۵٪ تومورهای گرانولوزا را تشکیل می‌دهد که بیش از ۹۰٪ در ۳٪ اول زندگی رخ می‌دهد. بلوغ زودرس کاذب در ۸۰٪ بیماران قبل از بلوغ مشاهده می‌شود. تظاهرات بیماران بعد از بلوغ شامل درد شکمی، تورم، نامنظمی قاعدگی، آمنوره و یا ترکیبی از این موارد است. تظاهرات ناشایع شامل شکم حاد (بهعلت پارگی و هموپریتوئن)، تظاهرات آندروژنی و همراهی موردی با بیماری اولیر و یا سندروم مافوچی است و یک مورد همراهی با توبروس اسکلروز نیز گزارش شده است. یافته‌های حین عمل به صورت آسیت، گسترش خارج تخمدانی ولی معمولاً محدود به

<sup>۱</sup> Granulosa cell tumor

کاراکتریستیک این نئوپلاسم مانند فولیکول‌های تیپیک آن مشاهده شود (۸). در رابطه با بیمار مطرح شده نیز، در بررسی نمونه عود ابتدا تشخیص تومور تمایز نیافته گذاشته شد. با بررسی بیشتر و با کمک سابقه بیمار و رنگ‌آمیزی ایمونوهیستوشیمی، تشخیص گرانولوزای جوانان تخدمان واریانت آنالپاستیک گذاشته شد. تاکنون چند مورد مشابه گزارش شده است که مختصراً در جدول ۱ قابل مشاهده است.

یک واریانت بسیار نادر تومور گرانولوزا جوانان، نوع آنالپاستیک است که در مقایسه با نوع معمول آتیپی هسته‌ای آن خیلی شدید است، اما هنوز آرشیتکت قبلی حفظ شده است. این نئوپلاسم نواحی صفحه مانندی دارد که مشاهده آن به تهایی نمی‌تواند منجر به تشخیص گرانولوزا سل تومور جوانان شود و بیشتر شبیه به یک کارسینوم تمایز نیافته است و تشخیص واریانت آنالپاستیک را در صورتی می‌توان مطرح کرد که با نمونه‌برداری کافی، قسمت‌هایی با ویژگی‌های

جدول ۱- کیس‌های مشابه گزارش شده در مطالعات قبلی

| نویسنده                   | سن | یافته غیرمعمول  | گسترش خارج تخدمان   | پیگیری پس از جراحی                       |
|---------------------------|----|---|---|--|
| بیمار کنونی               | ۱۴ | صفحات و نستهای سالید با سلول‌های شدید آتیپیک با نکروز و میتوز فراوان و تغییرات دسموپلاستیک          | متاستاز به کبد و طحال، پس از ۴ دوره کموتراپی و جراحی مجدد فوت شد.     | پریتوئن                                  |
| رآاو و همکاران (۲۰۱۶)     | ۱۵ | فضاهای کیستیک فراوان، آنالپازی و نواحی شبیه سلول‌های سنسیشیوتروفوبلاست                              | پس از ۴ دوره کموتراپی عود نداشت.                                      | امنتال deposit                           |
| اسمیت و همکاران (۲۰۱۰)    | ۱۷ | نواحی نکروز و خونریزی با سلول‌های بدبوی و سلول‌های شبیه به هپاتوسیت‌ها و افزایش آلفافیتوپروتئین سرم | سطح خارجی رحم، ییگانان گرد چپ و پریتوئن در پیگیری ۱۵ ماهه عود نداشت.  |  |
| روسترهوز و همکاران (۲۰۱۶) | ۱۹ | نکروز و میتوز فراوان با آنالپازی هسته‌ای  | ۳ ماه پس از جراحی با وجود شیمی‌درمانی متعدد با متاستاز اطراف ناف طحال | نکروز و میتوز فراوان با آنالپازی هسته‌ای |

بیمار نیز CK، WT1 و Inhibin و CD117 منفی و Calretinin مثبت بود.

سطح سرمی Inhibin در پیگیری این بیماران بسیار مفید است. برخلاف نوع بالغین GCT که دیرتر عود می‌کنند، تقریباً تمام موارد بدخیم JGCT در طی ۳ سال عود می‌کنند که موارد عود تحت کموتراپی قرار می‌گیرد (۲). در مورد بیمار حاضر نیز Inhibin در آزمایشات انجام شده ۱۰ ماه پس از جراحی اول مثبت شد و بیمار تحت شیمی‌درمانی قرار گرفت.

این تومورها معمولاً با توده لگنی بروز می‌کند و با روش‌های تصویربرداری تشخیص داده می‌شوند. درمان این تومورها هیسترتومی کامل شکمی و سالپنگواؤوفورکتومی است و مهم‌ترین عامل پروگنوتیک در این تومورها، مرحله بیماری است. نقش درمان کمکی شامل شیمی‌درمانی و رادیوتراپی در مرحله I بیماری و بیمارانی که تومور آنها کاملاً برداشته شده است، ناشناخته است. روش‌های درمانی کمکی در موارد عود بیماری و بیماری متاستاتیک توصیه می‌شود (۱۱).

از تشخیص افتراقی‌های تومور سلول گرانولوزا بالغین، تومور کیسه زرد (شامل واریانت پلی وزیکولار ویتلین)، کارسینوم سلول کوچک از نوع هایپرکلسیمیک (به خصوص واریانت large cell)، تکوما (در برابر JGCT تومور سلول گرانولوزا تخدمان جوانان بدون فولیکول یا با فولیکول اندک) کارسینوم سلول روشن، اندیفرانسیه و کارسینوم سروز با پترن غالب شبیه کارسینوم سلول ترانزیشنال (در برابر JGCT با سودوپاپیلا)، تومور سلول استرتوئیدی، لوئوم حاملگی و ملانوم بدخیم متاستاتیک می‌باشد (۷).

تعدادی از مارکرهای ایمونوهیستوشیمی برای این تومورها معرفی شده است که شامل Inhibin، SF-1 و WT1، FOXL2، JGCT را می‌توان با استفاده از مارکرهای ایمونوهیستوشیمیایی مانند Inhibin، CD99 و کالرتینین تأیید کرد. مارکرهای مانند EMA، کراتین و MART-1 معمولاً منفی هستند (۷، ۱۰). در مورد این

تومور، منجر به فوت بیمار شد. در این مقاله هم علاوه بر معرفی یک تومور نادر تحمدانی، رفتار تهاجمی و غیرمعمول این تومور نیز مورد توجه بود.

### نتیجه‌گیری

این گزارش مورد، مؤید نیاز به پیگیری دقیق بیماران مبتلا به تومور سلول گرانولوزا جوانان تحمدان و توجیه مناسب بیمار و قیم ایشان جهت تجویز درمان‌های ادجوانیت مورد نیاز برای پیشگیری از عود بیماری می‌باشد.

بقا در ۹۷٪ stage 1 است، ولی در مراحل بالاتر ممکن است کشنده باشد. عود معمولاً در این تومور در ۳ سال اول بعد از عمل رخ می‌دهد. وجود یا عدم پارگی تومور، میزان میتوز، درجه غیرمعمول هسته‌ای، پلوئیدی DNA، انداز پولیفراتیو در استیج ۱ به عنوان فاکتور پروگنوستیک نیستند، در حالی که وقتی آتیپی هسته‌ای به صورت گسترده باشد و پترن فولیکولار از بین برود، گمان می‌رود که به نفع پروگنوز بدتر باشد (۱۰). بیمار معرفی شده در این مطالعه نیز در نمونه عود تومور با توجه به آتیپی هسته‌ای گسترده و از بین رفتن پترن فولیکولار پروگنوز بدتری داشت و با توجه به مرحله بالاتر

### منابع

- Schumer ST, Cannistra SA. Granulosa cell tumor of the ovary. *Journal of clinical oncology* 2003; 21(6):1180-9.
- Rao AC, Kishore M, Monappa V. Juvenile Granulosa Cell Tumour: Anaplastic Variant with Omental Deposits. *J Clin Diagn Res* 2016; 10(2):ED01-3.
- Kalfa N, Philibert P, Patte C, Thibaud E, Pienkowski C, Ecochard A, et al. Tumeurs juvéniles de la granulosa: expression clinique et moléculaire [Juvenile granulosa-cell tumor: clinical and molecular expression]. *Gynecol Obstet Fertil* 2009; 37(1):33-44.
- Li J, Bao R, Peng S, Zhang C. The molecular mechanism of ovarian granulosa cell tumors. *J Ovarian Res* 2018; 11(1):13.
- Jamieson S, Fuller PJ. Management of granulosa cell tumour of the ovary. *Current opinion in oncology* 2008; 20(5):560-4.
- Young RH. Ovarian sex cord-stromal tumours and their mimics. *Pathology* 2018; 50(1):5-15.
- Clement PB, Young RH. *Atlas of gynecologic surgical pathology*. 4nd ed. Saunders; 2008.
- Smith R, Moss J, Shore I, El-Bahrawy MA. Juvenile granulosa cell tumour with hepatocyte-like cells and raised serum alpha-fetoprotein. *Histopathology* 2010; 57(4):637-41.
- Rusterholz KR, MacDonald W. An Unusual Case of Juvenile Granulosa Cell Tumor of the Ovary. *Radiol Case Rep* 2016; 4(1):178.
- McCluggage WG. Immunohistochemical and functional biomarkers of value in female genital tract lesions. *Int J Gynecol Pathol* 2006; 25(2):101-20.
- Roth LM. Recent advances in the pathology and classification of ovarian sex cord-stromal tumors. *Int J Gynecol Pathol* 2006; 25(3):199-215.